

УДК 539.4:629.7.02

В.И.Халиулин

К РЕШЕНИЮ ПЛОСКОЙ ЗАДАЧИ ТЕРМОУПРУГОСТИ
ДЛЯ МОНОЛИТНОГО КРЫЛА

Определение температурных напряжений и деформаций монолитного крыла, как известно [1], можно производить отдельно от симметричного T_c и обратно симметричного T_a нагрева. Обычно ограничиваются расчетом только изгибных напряжений [4], вызванных действием обратно симметричной составляющей T_a . Между тем, определенный интерес вызывает величина мембранных усилий, возникающих в результате воздействия симметричного температурного поля. В развитие ранее опубликованных работ [2, 3] по расчету крыльев на изгиб здесь предлагается методика решения плоской температурной задачи применительно к монолитному крылу. Как и в [3], в качестве расчетной схемы принимаем конструктивно-анизотропную пластину, состоящую из толстой верхней и нижней обшивок, подкрепленных ребрами жесткости (рис. 1). Условия крепления крыла к корпусу произвольные: полная или частичная заделка по корневой хорде, наличие шарнирного опирания в отдельных точках. Температурное поле предполагается стационарным. Изменение механических постоянных материала по температуре учитывается при подсчете жесткостных характеристик пластины.

1. Крыло относим к косоугольно-полярной системе координат $\xi \zeta$, переход к которой от декартовой $x y$ осуществляется по формулам:

$$\xi = y, \quad \zeta = \frac{x}{y}.$$

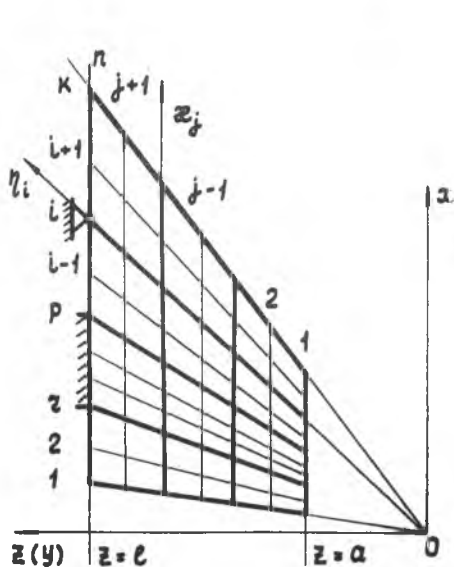


Рис. 1

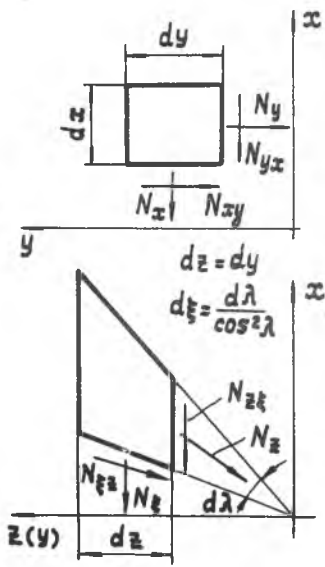


Рис. 2

Рассматривая рис. 2, можно установить связь между усилиями и деформациями в косоугольно-полярных и прямоугольных координатах.

$$N_x = N_z \xi^2 \chi + N_\xi \frac{1}{\chi} + 2N_{z\xi} \xi, \quad N_y = N_z \chi, \quad (I)$$

$$N_{xy} = N_z \xi \chi + N_{z\xi},$$

$$\varepsilon_x = \varepsilon_\xi, \quad \varepsilon_y = \frac{1}{\chi^2} (\varepsilon_z + \varepsilon_\xi \xi^2 \chi^2 + \gamma_{z\xi} \xi \chi), \quad (2)$$

$$\gamma_{xy} = \frac{1}{\chi} (\gamma_{z\xi} - 2\varepsilon_\xi \xi), \quad \text{где } \chi = \frac{1}{(1 + \xi^2)^{1/2}}.$$

Для изотропной пластины закон Гука в косоугольно-полярной системе координат с учетом температуры запишется:

$$N_z^n = \bar{D}_0 [\varepsilon_z + \bar{\mu}_1 \varepsilon_\xi + \bar{\mu}_2 \gamma_{z\xi}] - K_t \alpha T,$$

$$N_{\xi}^n = \bar{D}_0 [\bar{\mu}_1 \varepsilon_{\xi} + \varepsilon_{\xi} + \bar{\mu}_2 \gamma_{\xi\xi}^n] - K_t \alpha T,$$

$$N_{\xi\xi}^n = \bar{D}_0 [\bar{\mu}_2 (\varepsilon_{\xi} + \varepsilon_{\xi}) + \bar{\mu}_3 \gamma_{\xi\xi}^n] + K_t \xi \chi \alpha T. \quad (3)$$

Здесь t^n , E^n , α , T - толщина, модуль упругости, коэффициент линейного теплового расширения и температура пластины, $\bar{D}_0 = \frac{E^n t^n}{1 - \mu^2} \frac{1}{\chi^3}$

$$\bar{\mu}_1 = (\xi^2 + \mu) \chi^2, \quad \bar{\mu}_2 = -2\xi \chi, \quad \bar{\mu}_3 = 2(1 - \mu + 2\xi^2) \chi^2, \quad K_t = \frac{E^n t^n}{(1 - \mu) \chi}.$$

Получим физические зависимости для пластины, анизотропия упругих свойств которой создается сходящимися продольными и параллельными оси Ox поперечными ребрами жесткости.

Выделим из этой пластины трапециевидный элемент лучами $i - I$, $i + I$ и вертикальными линиями $j - I$, $j + I$ (рис. 1).

Для упрощения рассуждений положим, что в рассматриваемую область попали только одно продольное ребро, совпадающее с лучом, и одно поперечное, ось которого совпадает с сечением j (рис. 3). Площади подкрепляющих элементов в их нормальных сечениях обозначим f_i и f_j соответственно. Очевидно, что для ребер жесткости зависимости "усилия-деформации" будут иметь простой вид:

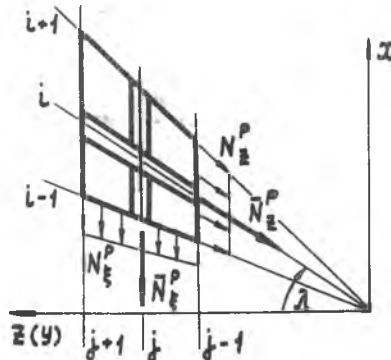


Рис. 3

$$N_{\xi}^p = \frac{\gamma_{\xi\xi}}{\bar{D}_0} (\varepsilon_{\xi} - \alpha T), \quad N_{\xi\xi}^p = \frac{\gamma_{\xi\xi}}{\bar{D}_0} (\varepsilon_{\xi} - \alpha T), \quad (4)$$

где \bar{N}_{ξ}^p и $\bar{N}_{\xi\xi}^p$ - осевые сосредоточенные силы в ребрах i , j (рис. 3).

Вводя погонные усилия $N_{\xi}^p, N_{\xi\xi}^p$ по граням элемента, статически эквивалентные силам $\bar{N}_{\xi}^p, \bar{N}_{\xi\xi}^p$, выражения (4) перепишем как

$$N_{\xi}^P = \frac{\nu_{\xi\xi}}{D_0} (\varepsilon_{\xi} - \alpha T), \quad N_{z}^P = \frac{\nu_{zz}}{D_0} (\varepsilon_z - \alpha T). \quad (5)$$

В (5) используются обозначения $\nu_{\xi\xi} = \frac{E_i f_i}{E^n t^n (\bar{z}_{j+1} - \bar{z}_{j-1})}$,
 $\nu_{zz} = \frac{E_i f_i \chi}{E^n t^n z (\xi_{i+1} - \xi_{i-1})}$.

Между N_{ξ}^P , N_z^P и \bar{N}_{ξ}^P , \bar{N}_z^P очевидна следующая связь:

$$N_{\xi}^P = \frac{\bar{N}_{\xi}^P}{(\bar{z}_{j+1} - \bar{z}_{j-1}) \chi}, \quad N_z^P = \bar{N}_z^P \frac{1}{z (\xi_{i+1} - \xi_{i-1})}. \quad (6)$$

Для обшивки, как для изотропной пластины, физические зависимости определяются соотношениями (3). Складывая уравнения (3), (5) и разрешая их относительно ε_{ξ} , ε_z , $\gamma_{z\xi}$, устанавливаем связь между деформациями и усилиями в конструктивно-анизотропной пластине:

$$\begin{aligned} \varepsilon_{\xi} &= \bar{D} [N_{\xi}^P \nu_{zz} + N_z^P \mu_1 + N_{z\xi}^P \mu_2 \nu_{z\xi}] + \varepsilon_T, \\ \varepsilon_z &= \bar{D} [N_{\xi}^P \mu_1 + N_z^P \nu_{z\xi} + N_{z\xi}^P \mu_2 \nu_{z\xi}] + \varepsilon_T, \\ \gamma_{z\xi} &= \bar{D} [N_{\xi}^P \mu_2 \nu_{z\xi} + N_z^P \mu_2 \nu_{z\xi} + N_{z\xi}^P \mu_3 \nu_{z\xi}] + \varepsilon_T \mu_2. \end{aligned} \quad (7)$$

Здесь для упрощения записи введено предположение, что коэффициент линейного расширения α одинаков как для обшивки, так и для ребер жесткости. В соотношениях (7) введены суммарные усилия по граням рассматриваемого элемента $N_{\xi}^P = N_{\xi}^n + N_{\xi}^P$, $N_z^P = N_z^n + N_z^P$, $N_{z\xi}^P = N_{z\xi}^n$, $\bar{D} = \frac{1}{E t^n \alpha}$ - величина, обратная жесткости обшивки на растяжение,

$\varepsilon_T = \alpha(T) T(z, \xi)$ - относительное температурное удлинение.

Кроме того, в (7) используются обозначения:

$$\begin{aligned} \mu_1 &= (\xi^2 - \mu) \chi^2, \quad \mu_2 = 2 \xi^2 \chi, \quad \mu_3 = 2(1 + \mu + 2 \xi^2) \chi^2, \\ \alpha &= [(1 + \nu_{\xi\xi})(1 + \nu_{zz}) - \mu_1^2 \nu_{\xi\xi} \nu_{zz}] \chi, \quad \nu_{zz} = 1 + \nu_{zz} - \mu_1^2 \nu_{zz}, \\ \nu_{\xi\xi} &= 1 + \nu_{\xi\xi} - \mu_1^2 \nu_{\xi\xi}, \quad \nu_{z\xi} = 1 + \nu_{z\xi} - \mu_1 \nu_{z\xi}, \quad \nu_{z\xi} = 1 + \nu_{z\xi} - \mu_1 \nu_{z\xi}, \\ \nu_{z\xi} &= (1 + \nu_{\xi\xi})(1 + \nu_{zz}) - \mu_1^2 \nu_{\xi\xi} \nu_{zz} - \frac{\mu_2^2}{\mu_3} [\nu_{\xi\xi} + \nu_{zz} + 2 \nu_{\xi\xi} \nu_{zz} (1 - \mu_1)]. \end{aligned}$$

Рассматривая равновесия бесконечно малого анизотропного трапецевидного элемента $d z d \xi$ и предполагая, что по его граням действуют суммарные погонные усилия N_z , N_{ξ} , $N_{z\xi}$, можно получить три уравнения равновесия:

$$\frac{\partial}{\partial z} (z N_z) + \frac{\partial}{\partial \xi} (N_{z\xi}) \sqrt{1 + \xi^2} = 0.$$

$$\frac{1}{z} \frac{\partial}{\partial z} (z^2 N_{zz}) + \frac{\partial}{\partial \xi} (N_{z\xi} \sqrt{1+\xi^2}) = 0, \quad N_{z\xi} = N_{\xi z}. \quad (8)$$

Если ввести функцию усилий $\varphi(z, \xi)$ так, чтобы

$$N_{\xi} = \frac{\partial^2 \varphi}{\partial z^2} \chi, \quad N_z = \frac{\partial^2 \varphi}{\partial \xi^2} \frac{1}{z^2 \chi}, \quad N_{z\xi} = \frac{1}{z} \left(\frac{\partial^2 \varphi}{\partial z \partial \xi} - \frac{1}{z} \frac{\partial \varphi}{\partial \xi} \right). \quad (9)$$

то уравнения (8), очевидно, удовлетворятся тождественно.

2. Разрешая уравнения для отыскания усилий получим на основании принципа минимума дополнительной потенциальной энергии, которая для линейно упругого тела равна потенциальной энергии деформации U :

$$\delta U = 0. \quad (10)$$

Потенциальную энергию деформации крыла представим в виде суммы:

$$U = U^{обш} + U^A + U^H,$$

где $U^{обш}$ — энергия обшивки, вызванная мембранными усилиями N_z^n , N_{ξ}^n , $N_{z\xi}^n$; U^A , U^H — потенциальная энергия ребер, создаваемая осевыми силами $\bar{N}_{z_i}^p$ и $\bar{N}_{\xi_j}^p$.

Энергия деформации обшивки в декартовой системе координат определяется известным выражением

$$U^{обш} = \frac{1}{2} \iint_{x,y} (N_x^n \varepsilon_x + N_y^n \varepsilon_y + N_{xy}^n \gamma_{xy}) dx dy. \quad (11)$$

Пользуясь соотношениями (1), (2) и переходя в интеграле к переменным z, ξ , получим выражение для энергии деформации обшивки в косоугольно-полярных координатах:

$$U^{обш} = \frac{1}{2} \iint_{z,\xi} (N_z^n \varepsilon_z + N_{\xi}^n \varepsilon_{\xi} + N_{z\xi}^n \gamma_{z\xi}) \frac{z}{\chi} dz d\xi. \quad (12)$$

Энергию деформации продольных и поперечных ребер можно записать:

$$U^A = \sum_{i=1}^K \int_{\eta_i} \bar{N}_{z_i}^p \varepsilon_{z_i} d\eta_i, \quad U^H = \sum_{j=1}^n \int_{z_j} \bar{N}_{\xi_j}^p \varepsilon_{\xi_j} dz_j. \quad (13)$$

Здесь η_i, z_j — вспомогательные оси, совпадающие с осями ребер жесткости (рис. 1); K, n — число продольных и поперечных элементов соответственно.

Заменяем сосредоточенные силы в элементах погонными усилиями, действующими в пределах двух соседних координатных линий. Переходя в соотношениях (13) от переменных η, z к z, ξ и заменяя суммы соответствующими интегралами по всему крылу, будем иметь выражения

$$u^A = \frac{1}{2} \iint_{\xi, z} N_z^p \varepsilon_z \sqrt{1 + \xi^2} z dz d\xi, \quad u^H = \frac{1}{2} \iint_{\xi, z} N_\xi^p \varepsilon_\xi \sqrt{1 + \xi^2} z dz d\xi, \quad (14)$$

где N_z^p и N_ξ^p определяются формулами (6).

Складывая (12) и (14), получим для всего крыла:

$$u = \frac{1}{2} \iint_{\xi, z} (N_z \varepsilon_z + N_\xi \varepsilon_\xi + N_{z\xi} \gamma_{z\xi}) z dz d\xi. \quad (15)$$

Здесь N_z , N_ξ , $N_{z\xi}$ - суммарные погонные усилия.

Выражая теперь деформации ε_z , ε_ξ , $\gamma_{z\xi}$ через усилия с помощью физических соотношений для конструктивно-анизотропной пластины (7), будем иметь

$$u = \frac{1}{2} \iint_{\xi, z} \left\{ \bar{D} [N_z^2 \varepsilon_{zz} + N_\xi^2 \varepsilon_{\xi\xi} + 2\mu_1 N_z N_\xi + 2\mu_2 N_{z\xi} (N_z \varepsilon_\xi + N_\xi \varepsilon_z) + \mu_3 N_{z\xi}^2 \varepsilon_{z\xi}] + (N_\xi + N_z + \mu_2 N_{z\xi}) \varepsilon_T \right\} \frac{z}{\chi} dz d\xi. \quad (16)$$

Если заменить N_z , N_ξ , $N_{z\xi}$ в соответствии с (9) функцией усилий $\varphi(z, \xi)$, выражение (16) преобразуется к следующему виду:

$$u = \frac{1}{2} \iint_{\xi, z} \left\{ \bar{D} [e_{zz} \left(\frac{\partial^2 \varphi}{\partial z^2} \right)^2 + K_{\xi\xi} \left(\frac{\partial^2 \varphi}{\partial \xi^2} \right)^2 + K_{z\xi} \frac{\partial^2 \varphi}{\partial z^2} \frac{\partial^2 \varphi}{\partial \xi^2} + K_\gamma \frac{\partial}{\partial z} \left(\frac{1}{z} \frac{\partial \varphi}{\partial \xi} \right) + K_{\xi\xi} \frac{\partial^2 \varphi}{\partial z^2} + K_{\gamma\gamma} \left[\frac{\partial}{\partial z} \left(\frac{1}{z} \frac{\partial \varphi}{\partial \xi} \right) \right]^2 + \left[\frac{\partial^2 \varphi}{\partial z^2} + K_{\xi\xi} \frac{\partial^2 \varphi}{\partial \xi^2} + K_{\gamma\gamma} \frac{\partial}{\partial z} \left(\frac{1}{z} \frac{\partial \varphi}{\partial \xi} \right) \right] \varepsilon_z \right\} dz d\xi, \quad (17)$$

где введены обозначения:

$$K_{\xi\xi} = \frac{e_{\xi\xi}}{\chi^2 z^4}, \quad K_{z\xi} = \frac{2}{z^2} (\xi^2 - \mu), \quad K_\gamma = -4\xi, \quad K_{\xi\xi} = \frac{1}{z^2 \chi^2 z^2},$$

$$K_\xi = (1 + \xi^2) e_\xi, \quad K_{\gamma\gamma} = 2(1 + \mu + 2\xi^2) e_{z\xi}.$$

3. Операции и порядок получения разрешающих уравнений сохраним в соответствии с работами [2, 3]. Из точки перемещения передней и задней кромок проведем "K" лучей с переменным шагом $h_i = \xi_{i+1} - \xi_{i-1}$ (рис. 1). В качестве неизвестных примем функции усилий $\varphi(z)$ вдоль этих прямых.

Вычисляя интеграл по хорде в (17) с помощью какой-либо интерполяционной формулы, можно записать

$$u = h \sum_{i=1}^K q_i u_i, \quad (18)$$

где q_i - весовые числа, определяемые выбранной интерполяционной формулой; $h = \frac{\xi_K - \xi_1}{K-1}$ - средний шаг между координатными лучами.

Производные по переменной ξ выразим через значения функции $\varphi(\bar{z})$ в фиксированных точках с помощью центральных конечно-разностных формул.

Рассматривая в качестве вариации напряжений любое изменение функции усилий $\psi(\bar{z})$, возможное с точки зрения выполнения статических граничных условий, в соответствии с (10) получим:

а) систему дифференциальных уравнений

$$\sum_{p=i-2}^{i+2} [F_1'' + F_2' + F_3]_p - P_{1i} - P_{2i}' + P_{3i}'' = 0 \quad (i = \overline{2, k-1}); \quad (19)$$

б) естественные краевые условия на закрепленном участке по корневой хорде при $z = \ell$ (рис. 1).¹

$$\sum_{p=i-2}^{i+2} [F_1' + F_2]_p - P_{2i}' + P_{3i}' \Big|_{z=\ell} = 0, \quad \sum_{p=i-2}^{i+2} F_{1p} + P_{3i} \Big|_{z=\ell} = 0 \quad (i = \overline{2, p}) \quad (20)$$

В выражениях (19), (20) введены обозначения:

$$F_1 = R_1 \varphi + R_2 \varphi' + R_3 \varphi'', \quad F_2 = R_4 \varphi + R_5 \varphi' + R_6 \varphi'', \quad F_3 = R_7 \varphi + R_8 \varphi' + R_9 \varphi'',$$

штрихом обозначены частные производные по z .

Величины $R_{\ell p}$ ($\ell = 1, 9$; $p = i-2, i+2$) определяются жесткостными характеристиками и геометрией крыла; P_{1i} , P_{2i} , P_{3i} характеризуются температурным полем^{*)}.

На свободном торце $z = a$ необходимо удовлетворить статическим краевым условиям $N_y = 0$, $N_{xy} = 0$ или согласно формулам перехода (1) $N_z = 0$, $N_{z\xi} = 0$. По-видимому, эти условия с точностью до несущественного линейного слагаемого будут выполнены, если положить

$$\varphi_i(a) = 0, \quad \frac{\partial \varphi_i}{\partial z}(a) = 0 \quad (i = \overline{1, k}). \quad (21)$$

При $z = \ell$ на свободном от закрепления участке краевые условия будут такими же:

$$\varphi_i(\ell) = 0, \quad \frac{\partial \varphi_i}{\partial z}(\ell) = 0 \quad (i \neq \overline{2, p}). \quad (22)$$

^{*)} Из-за недостатка места формулы для вычисления R и P не приводятся.

Аналогично по продольным кройкам должны выполняться условия:

$$\varphi_i = 0, \quad \frac{\partial \varphi_i}{\partial \xi} = 0 \quad (i = 1, \kappa). \quad (23)$$

Из первого краевого условия (23) вытекает, что по крайним линиям уравнения вырождаются в элементарные $\varphi_i = 0$. Второе условие (23) дополняет систему до полной.

4. Для численного решения системы дифференциальных уравнений (22) используем, как и в [2, 3], аппарат интегрирующих матриц [5]. Приведем уравнения системы (19) к интегральному виду, для чего проинтегрируем их по \bar{z} два раза от \bar{z} до ℓ . В итоге получим

$$\sum_{p=i-2}^{i+2} [F_1 - \int_{\bar{z}}^{\ell} F_2 dz + \int_{\bar{z}}^{\ell} \int_{\bar{z}}^{\ell} F_3 dz^2]_p = \int_{\bar{z}}^{\ell} P_{1i} dz^2 - \int_{\bar{z}}^{\ell} P_{2i} dz + P_{3i} + Q_i(\ell - \bar{z}) + M_i, \quad (24)$$

(i = 2, \kappa - 1)

где обозначено:

$$Q_i = - \sum_{p=i-2}^{i+2} [F_1' + F_2]_p + P_{2i} - P_{3i}' \Big|_{\bar{z}=\ell}, \quad M_i = \sum_{p=i-2}^{i+2} F_1 + P_{3i} \Big|_{\bar{z}=\ell}. \quad (25)$$

Постоянные интегрирования Q_i и M_i для заделанного участка торца крыла в соответствии с крайними условиями (20) равны нулю, а для свободных участков на торце $\bar{z} = \ell$ пока неизвестны.

Выразим $\varphi_i(\bar{z})$ и $\varphi_i'(\bar{z})$ в (24) через $\varphi_i''(\bar{z})$. С учетом крайних условий (21) будем иметь

$$\varphi_i = \int_{\alpha}^{\bar{z}} \int_{\alpha}^{\bar{z}} \varphi_i'' dz^2, \quad \varphi_i' = \int_{\alpha}^{\bar{z}} \varphi_i'' dz. \quad (26)$$

Записывая уравнения (24) с учетом (26) в "n" дискретных сечениях с помощью интегрирующих матриц [5], получим систему решающих уравнений в матричном виде:

$$\sum_{p=i-2}^{i+2} [\{\bar{F}_1\} - J_2 \{\bar{F}_2\} + J_2^2 \{\bar{F}_3\}]_p = \{\bar{P}\}_i + Q_i \{\bar{z}\} + M_i \{e\}, \quad (27)$$

где

$$\{\bar{F}_1\}_i = [R_1 J_1^2 + R_2 J_1 + R_3]_i \{\varphi_i''\}, \quad \{\bar{F}_2\}_i = [R_4 J_1^2 + R_5 J_1 + R_6]_i \{\varphi_i''\}$$

$$\{\bar{F}_3\}_i = [R_7 J_1^2 + R_8 J_1 + R_9]_i \{\varphi_i''\}, \quad \{\bar{P}\} = J_2^2 P_{1i} - J_2 P_{2i} + P_{3i}.$$

В системе уравнений (27) J_1, J_2 - интегрирующие матрицы первого и второго типов [5]; R_i - диагональные матрицы значений соответствующих жесткостных коэффициентов в расчетных сечениях по i -ой линии; $\{\varphi_i''\}, \{P_1\}_i, \{P_2\}_i, \{P_3\}_i$ - столбцы искомых функций и нагрузочных членов по i -ой линии; $\{\bar{z}\} = \{\ell - \bar{z}\}$ - столбец координат

нат расчетных сечений, начиная с торца $z = \ell$.

Уравнения (27) можно объединить в одно матричное

$$[A]\{\varphi''\} = [B]\begin{Bmatrix} Q \\ M \end{Bmatrix} + \{P\}. \quad (28)$$

Если выражение (28) дополнить условиями на свободном участке торца $z = \ell$: $\varphi_i(\ell) = 0$ и $\varphi'_i(\ell) = 0$, то получим замкнутую систему алгебраических уравнений для нахождения $K \times n$ вторых производных $\{\varphi''_i\}$ и $2 \times (p - z + 1)$ неизвестных констант Q, M . Далее, пользуясь формулами (9), (7), (5), (3), (2), (1), можно полностью определить напряженно-деформированное состояние конструкции.

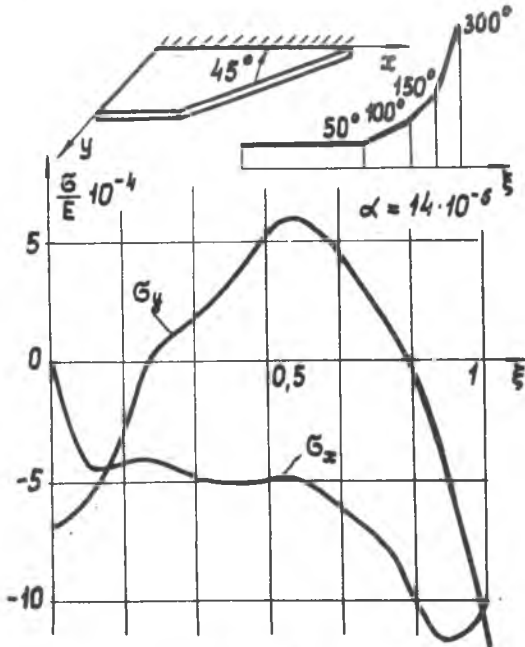


Рис. 4

В заключение подчеркнем, что дифференциальные уравнения (19) по своей структуре полностью идентичны уравнениям поперечного изгиба крыла [3]. Кроме того, характер граничных условий по торцам $z = a$ и $z = \ell$ в плоской задаче и задаче изгиба для консоль-

ной пластины позволяет в единообразной форме привести дифференциальные уравнения к интегральным. Жесткостные и нагрузочные коэффициенты в этих двух задачах вычисляются по однотипным формулам. Отмеченное соответствие между уравнениями и краевыми условиями для плоской задачи и задачи поперечного изгиба находится в полном согласии с положением о статико-геометрической аналогии [6, 7]. Очевидно, при численной реализации обе задачи могут быть решены по одной и той же программе.

В качестве иллюстрации на рис. 4 приведены эпюры напряжений σ_x , σ_y для трапециевидной консольной пластины в сечении $y = 100$ мм. Температурное поле по координате ξ имеет одинаковый закон распределения.

Л и т е р а т у р а

1. Фигуровский В.И. Расчет на прочность беспилотных летательных аппаратов. М., "Машиностроение", 1973.
2. Вахитов М.Б., Сафариев М.С., Халиулин В.И. Расчет консольных пластин методом прямых. - В сб.: Вопросы расчета методом прямых авиационных конструкций. Труды КАИ, вып. 166, Казань, 1974.
3. Халиулин В.И. К расчету монолитных крыльев разностно-интегральным методом. В кн.: Вопросы прочности и долговечности элементов авиационных конструкций. Межвузовский сборник, вып. 3, Куйбышевский авиационный институт, 1977.
4. Вахитов М.Б. К расчету консольных анизотропных пластин при совместном действии поперечной нагрузки и неравномерного нагрева. В кн.: Вопросы прочности элементов авиационных конструкций. Межвузовский сборник, вып. 1, Куйбышевский авиационный институт, 1974.
5. Вахитов М.Б. Интегрирующие матрицы - аппарат численного решения дифференциальных уравнений строительной механики. ИВУЗ, "Авиационная техника", 1966, № 3.
6. Калманок А.С. Строительная механика пластинок. М., Машстройиздат, 1950.
7. Гольденвейзер А.Д. Уравнения теории тонких оболочек. ПММ, т. IV, вып. 2, 1940.